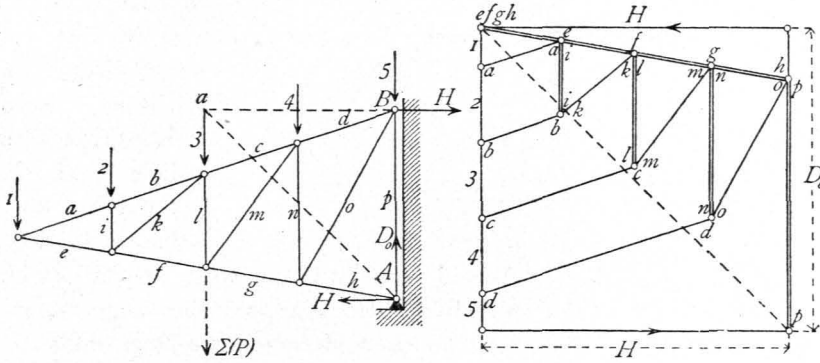


Fig. 309.



$H_1$  mit  $D_1$  zu einer zweiten Resultirenden, welche durch  $A$  geht. Beide Kräfte halten das Dach im Gleichgewicht, haben also die Richtung  $bA$ , bzw.  $Ab$ .

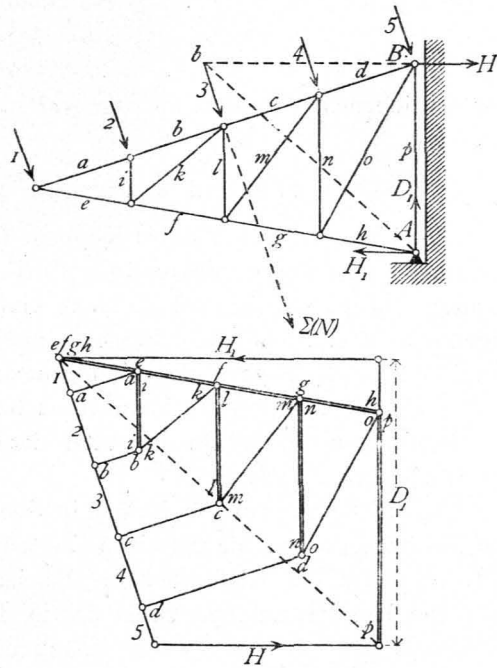
Ist  $a\delta = \Sigma(N)$ , so ziehe man durch  $\delta$  eine Parallele zur Richtung von  $H$ , durch  $a$  eine Parallele zur Richtung von  $W$ ; man erhält  $\varepsilon$ , und es ist  $\delta\varepsilon = H$ ,  $\varepsilon a = W$ . Nun zerlege man  $\varepsilon a$  in  $D_1$  und  $H_1$ , und es wird  $\varepsilon\zeta = D_1$ ,  $\zeta a = H_1$ .

2) Stabspannungen. Um die Stabspannungen zu ermitteln, sind hier nur Belastung durch das Eigengewicht, durch totale Schnee- und totale Windbelastung ins Auge zu fassen.

Die Berechnung für die verschiedenen möglichen Formen ist nach der Momentenmethode ohne Schwierigkeit durchzuführen, und zwar sowohl wenn die Lasten vertical, als wenn sie normal zur Dachfläche gerichtet sind; es braucht darauf hier nicht weiter eingegangen zu werden.

Das graphische Verfahren ist in den Fig. 309 und 310 für einen ConSOLE-Dachstuhl, und zwar für Belastung durch Eigengewicht und durch Winddruck durchgeführt. Zuerst sind die äußeren Kräfte, wie oben gezeigt, ermittelt, in cyclischer Reihenfolge an einander getragen und dann der Kräfteplan construiert, der ohne Weiteres verständlich ist.

Fig. 310.



448.  
Stabspannungen.

#### 4. Kapitel.

### Kuppel-, Zelt- und Thurmdächer.

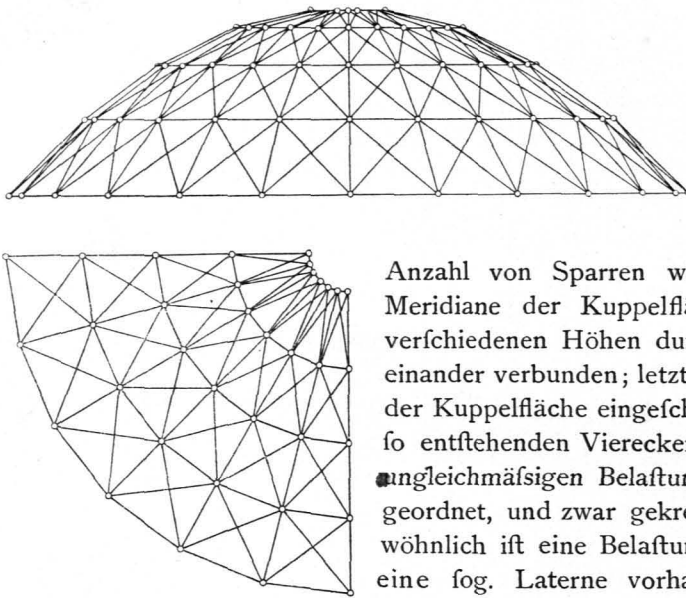
#### a) Kuppeldächer.

Die Kuppelfläche entsteht durch Rotation einer Curve um eine verticale Mittelaxe; sie ist also eine Rotationsfläche.

Während man früher die Kuppeldächer aus einer Anzahl radial gestellter

449.  
Allgemeines.

Fig. 311.



eingeschriebenes Polyeder; in Fig. 311 sind Ansicht und Grundrifs derselben dargestellt.

### 1) Belastungen und Auflager-Reactionen.

450.  
Belastungen.

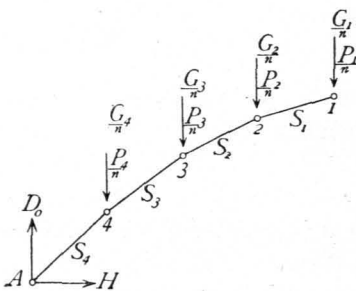
Die hier zu betrachtenden Kuppeln sind meistens so flach, dass der Winddruck nur eine ganz untergeordnete Rolle spielt; wir werden denselben deshalb hier in allen Theilen der Kuppel constant einführen, wobei eine mittlere Dachneigung angenommen werden soll. Ferner genügt es, nur die verticale Componente  $v$  (vergl. Art. 412, S. 379) des Winddruckes zu berücksichtigen; die in die Dachfläche fallende Componente kann vernachlässigt werden. Endlich empfiehlt es sich, alle Belastungen auf das Quadratmeter der Grundfläche, also der Horizontalprojection des Daches zu beziehen.

Auch hier greifen die Lasten in den Knotenpunkten der Construction an; es sind demnach die auf die einzelnen Knotenpunkte entfallenden Flächen zu berechnen und mit diesen die Belastungen pro Flächeneinheit der Grundfläche zu multipliciren.

451.  
Auflager-  
Reactionen.

Die Horizontalcomponenten der in den untersten Sparrenstangen vorhandenen Spannungen werden durch einen Ring, gegen welchen sich sämtliche Sparrenfüsse setzen, den sog. Mauerring, aufgehoben; in Folge davon wirken als Reactionen nur Verticalkräfte. Wir brauchen dieselben nur für gleichmäßige und solche Belastung zu bestimmen, bei welcher, wenn auch nur einzelne, so doch stets ganze Ringzonen belastet sind. Sind  $n$  Sparren vorhanden und ist der Grundrifs der Kuppel ein reguläres  $n$ -Eck, so können wir annehmen, dass bei den erwähnten Belastungen alle Sparren gleiche Lasten tragen. Die

Fig. 312.



Kuppel trage eine Laterne, deren Gewicht im Eigengewicht der ersten Ringzone mit enthalten sei. Die Eigengewichte der ganzen Ringzonen seien bezw. (Fig. 312)  $G_1, G_2, G_3, G_4 \dots$ , die mobilen Lasten der ganzen Ringzonen  $P_1, P_2, P_3, P_4 \dots$ ; alsdann ist, wenn die Auflager-Reaction auf jeden Sparren  $D_0$  beträgt, für totale Belaftung der ganzen Dachfläche

$$n D_0 = G_1 + G_2 + G_3 + G_4 + \dots + P_1 + P_2 + P_3 + P_4 + \dots = \Sigma (G) + \Sigma (P).$$

Wenn etwa nur die drei obersten Zonen mobil belaftet sind, so wird

$$n D_0 = G_1 + G_2 + G_3 + G_4 + \dots + P_1 + P_2 + P_3.$$

fein. Auf diese Art sind die Reactionen leicht zu ermitteln.

2) Stabspannungen.

a) Ungünstigste Beanspruchung der einzelnen Stäbe. Die genaue Untersuchung der für jeden Stab ungünstigsten Belaftungsweise und die Berechnung der dabei entstehenden Beanspruchungen ist sehr complicirt, da die elastischen Verschiebungen der einzelnen Punkte in Frage kommen.

452.  
Berechnung  
der Stab-  
spannungen.

Wir machen deshalb, nach Schwedler, für die Grenzen der Spannungen die folgenden vereinfachenden Annahmen:

a) die Sparren erhalten den Maximaldruck, wenn die ganze Kuppel mobil belaftet ist;

b) ein Ring erhält seinen Maximalzug, wenn der innerhalb desselben befindliche Kuppeltheil *in maximo* belaftet, der Ring selbst mit seiner Zone aber unbelaftet ist; bei der entgegengesetzten Belaftungsart treten die entgegengesetzten Grenzen ein;

c) die Diagonalen zwischen zwei Sparren sind im Maximum des Zuges, wenn die halbe Kuppel auf einer Seite des durch die Mitte der Diagonalen gehenden Durchmessers *in maximo* belaftet, die andere leer ist.

β) Spannungen in den Sparren. Wir betrachten nur zwei Belaftungsarten, nämlich die Belaftung der ganzen Kuppel durch mobile Last und die Belaftung der Kuppel durch Eigengewicht. Die zweite Belaftungsart ergibt die Minimalspannungen. Die Maximalspannungen der Sparren sind gleich den Summen der bei den beiden angeführten Belaftungsarten sich ergebenden Spannungen. Die Formeln für beide Belaftungsarten unterscheiden sich nur durch die Größe der Lasten.

Fig. 313.

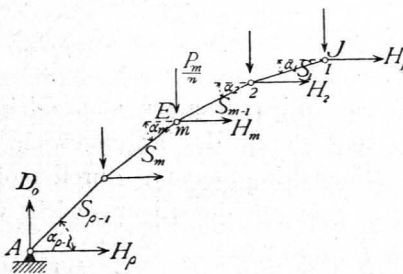
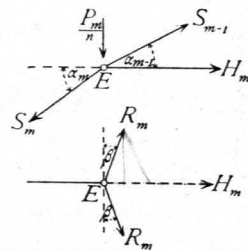


Fig. 314.



Was zunächst die mobile Belaftung betrifft, so sind im  $m$ -ten Knotenpunkte (vom Laternenringe an gerechnet) in  $E$  (Fig. 313 und 314) folgende Kräfte im Gleichwichte: die Spannungen der Sparren  $S_{m-1}$  und  $S_m$ , die Last  $\frac{1}{n} P_m$ , endlich die beiden Ringspannungen  $R_m$ . Letztere sind einander, der Symmetrie wegen, gleich und haben in der Horizontalebene des  $m$ -ten Ringes die Mittelkraft  $H_m$ . Die algebraische Summe der Verticalkräfte für den Punkt  $E$  ist gleich Null; mithin

$$0 = \frac{1}{n} P_m + S_m \sin \alpha_m - S_{m-1} \sin \alpha_{m-1},$$

woraus

$$S_m = \frac{S_{m-1} \sin \alpha_{m-1}}{\sin \alpha_m} - \frac{1}{n} \frac{P_m}{\sin \alpha_m}.$$

Für den ersten Knotenpunkt, den Knotenpunkt am Laternenringe, für  $\mathcal{F}$  ist  $S_{m-1} = 0$ ; mithin folgt der Reihe nach für  $m = 1, 2, 3 \dots$

$$S_1 = -\frac{1}{n} \frac{P_1}{\sin \alpha_1}; \quad S_2 = -\frac{1}{n} \frac{P_1 \sin \alpha_1}{\sin \alpha_1 \sin \alpha_2} - \frac{1}{n} \frac{P_2}{\sin \alpha_2} = -\frac{P_1 + P_2}{n \sin \alpha_2};$$

$$S_3 = -\frac{P_1 + P_2}{n \sin \alpha_2} \frac{\sin \alpha_2}{\sin \alpha_3} - \frac{1}{n} \frac{P_3}{\sin \alpha_3} = -\frac{P_1 + P_2 + P_3}{n \sin \alpha_3},$$

oder allgemein

$$S_m = -\frac{1}{n \sin \alpha_m} \sum_1^m (P) \dots \dots \dots 319.$$

Eben so ergibt sich die Spannung in den Sparren für eine Belaftung durch das Eigengewicht zu

$$S_1' = -\frac{G_1}{n \sin \alpha_1}; \quad S_2' = -\frac{(G_1 + G_2)}{n \sin \alpha_2}; \quad \dots \quad S_m' = -\frac{\sum_1^m (G)}{n \sin \alpha_m} \dots \dots \dots 320.$$

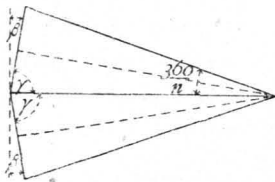
$\gamma$ ) Spannungen in den Ringen. Die Gleichgewichtsbedingung, nach welcher die algebraische Summe der Horizontalkräfte im Punkte  $E$  gleich Null ist, lautet (Fig. 314):

$$0 = H_m + S_{m-1} \cos \alpha_{m-1} - S_m \cos \alpha_m, \text{ woraus } H_m = S_m \cos \alpha_m - S_{m-1} \cos \alpha_{m-1}.$$

Da  $H_m$  die Resultierende der beiden Ringspannungen  $R_m$  ist, so ergibt sich  $H_m = 2 R_m \sin \beta$ , woraus  $R_m = \frac{H_m}{2 \sin \beta}$ . Nun ist (Fig. 315)  $\beta = \frac{360}{2n} = \frac{\pi}{n}$ ,

sonach  $R_m = \frac{H_m}{2 \sin \frac{\pi}{n}}$ . Wird in diese Gleichung der für  $H_m$  gefundene Werth

Fig. 315.



eingesetzt, so folgt

$$R_m = \frac{S_m \cos \alpha_m - S_{m-1} \cos \alpha_{m-1}}{2 \sin \frac{\pi}{n}} \dots \dots \dots 321.$$

Wir bestimmen nach Gleichung 321. die Ringspannung durch das Eigengewicht und die Maximal- und Minimalringspannung durch mobile Belaftung.

Durch das Eigengewicht wird

$$R_m^g = \frac{-\frac{\sum_1^m (G) \cos \alpha_m}{n \sin \alpha_m} + \frac{\sum_1^{m-1} (G) \cos \alpha_{m-1}}{n \sin \alpha_{m-1}}}{2 \sin \frac{\pi}{n}},$$

$$R_m^g = -\frac{\sum_1^m (G) \cotg \alpha_m - \sum_1^{m-1} (G) \cotg \alpha_{m-1}}{2 n \sin \frac{\pi}{n}} \dots \dots \dots 322.$$

Man erhält

$$\left. \begin{aligned} \text{für den Laternenring, d. h. für } m=1: R_1^g &= - \frac{G_1 \cotg \alpha_1}{2 n \sin \frac{\pi}{n}} \\ \text{für den Ring 2, d. h. für } m=2: R_2^g &= - \frac{(G_1 + G_2) \cotg \alpha_2 - G_1 \cotg \alpha_1}{2 n \sin \frac{\pi}{n}} \\ \text{für den Ring 3, d. h. für } m=3: R_3^g &= - \frac{(G_1 + G_2 + G_3) \cotg \alpha_3 - (G_1 + G_2) \cotg \alpha_2}{2 n \sin \frac{\pi}{n}} \\ &\text{etc.} \end{aligned} \right\} 323.$$

Für den Mauerring ist  $S_m$ , also auch das erste Glied im Zähler gleich Null; mithin

$$R_p^g = \frac{\sum_1^{p-1} (G) \cotg \alpha_{p-1}}{2 n \sin \frac{\pi}{n}} = \frac{(G_1 + G_2 + \dots + G_{p-1}) \cotg \alpha_{p-1}}{2 n \sin \frac{\pi}{n}} \quad 324.$$

Um die durch mobile Belastung erzeugten Ringspannungen zu ermitteln, setzen wir in die Gleichung 321. die Werthe für  $S_m$  und  $S_{m-1}$  ein. Wir erhalten, wenn wir die zwischen den Knotenpunkten 1 und  $m$  befindlichen mobilen Lasten mit  $\mathfrak{S}_1^m(P)$  bezeichnen, wobei nur ein Theil der Knotenpunkte belastet zu sein braucht, während  $\sum_1^m(P)$  die Belastung sämmtlicher Knotenpunkte von 1 bis  $m$  bedeutet,

$$R_m = - \frac{\mathfrak{S}_1^m(P) \cotg \alpha_m - \mathfrak{S}_1^{m-1}(P) \cotg \alpha_{m-1}}{2 n \sin \frac{\pi}{n}} \quad 325.$$

Druckmaximum findet statt, wenn im Zähler der Minuendus möglichst groß, der Subtrahendus möglichst klein ist, d. h. wenn (totale Belastung der Zonen vorausgesetzt) die Knotenpunkte von 1 bis  $m-1$ , d. h. die innerhalb des betrachteten Ringes liegenden Knotenpunkte unbelastet sind, die zu dem Ringe gehörigen Knotenpunkte dagegen belastet sind, wofür wir auch sagen können, wenn die ganze äußere Kuppel, incl. der zum Ringe gehörigen Zone, belastet ist, da die Belastung der außerhalb des Ringes liegenden Zonen auf die Ringspannung ohne Einfluss ist. Ein Wachsen des Minuendus  $\mathfrak{S}_1^m(P) \cotg \alpha_m$  durch Belastung der inneren Knotenpunkte hat ein Wachsen auch des Subtrahendus  $\mathfrak{S}_1^{m-1}(P) \cotg \alpha_{m-1}$  zur Folge, und da  $\cotg \alpha_{m-1}$  stets größer ist, als  $\cotg \alpha_m$ , so wächst dadurch der Subtrahendus mehr als der Minuendus; der Druck wird demnach dadurch verringert, daß innerhalb des Ringes Lasten angenommen werden. Die angegebene Belastungsart erzeugt also in der That Druckmaximum. Eben so ergibt sich Zugmaximum, wenn  $\mathfrak{S}_1^{m-1}(P)$  möglichst groß,  $\mathfrak{S}_1^m(P)$  möglichst klein wird. Jede Last zwischen Knotenpunkt 1 und  $m-1$  vergrößert den Subtrahendus in Gleichung 325. mehr als den Minuendus, weil  $\cotg \alpha_{m-1}$  größer ist, als  $\cotg \alpha_m$ , vergrößert also den Zug. Für  $\mathfrak{S}_1^m(P)$  und  $\mathfrak{S}_1^{m-1}(P)$  ist also unter diesen Umständen der gleiche Werth  $\sum_1^{m-1}(P)$  als ungünstigster Zugwerth einzuführen. ) Zugmaximum findet demnach statt, wenn nur der innere Kuppeltheil, excl. der Zone, zu welcher der Ring gehört,

belastet ist. Die hier gefundenen Resultate stimmen demnach mit den auf S. 419 gemachten Annahmen über die Maximalbelastung überein. Man erhält

$$R_m^{\rho \min} = -\frac{P_m \cotg \alpha_m}{2n \sin \frac{\pi}{n}} \quad \text{und} \quad R_m^{\rho \max} = \frac{\sum_1^{m-1} (P) (\cotg \alpha_{m-1} - \cotg \alpha_m)}{2n \sin \frac{\pi}{n}} \quad 327.$$

Es ergibt sich

$$\left. \begin{aligned} \text{für den Laternenring } (m=1): \quad R_1^{\rho \min} &= -\frac{P_1 \cotg \alpha_1}{2n \sin \frac{\pi}{n}} \quad \text{und} \quad R_1^{\rho \max} = 0 \\ \text{für } m=2: \quad R_2^{\rho \min} &= -\frac{P_2 \cotg \alpha_2}{2n \sin \frac{\pi}{n}} \quad \text{und} \quad R_2^{\rho \max} = \frac{P_1 (\cotg \alpha_1 - \cotg \alpha_2)}{2n \sin \frac{\pi}{n}} \\ \text{für } m=3: \quad R_3^{\rho \min} &= -\frac{P_3 \cotg \alpha_3}{2n \sin \frac{\pi}{n}} \quad \text{und} \quad R_3^{\rho \max} = \frac{(P_1 + P_2) (\cotg \alpha_2 - \cotg \alpha_3)}{2n \sin \frac{\pi}{n}} \end{aligned} \right\} 328.$$

etc.

$$\text{für den Mauerring: } R_\rho^{\rho \min} = 0 \quad \text{und} \quad R_\rho^{\rho \max} = \frac{(P_1 + P_2 + \dots + P_{\rho-1}) \cotg \alpha_{\rho-1}}{2n \sin \frac{\pi}{n}} \quad 329.$$

d) Spannungen in den Diagonalen. Neben dem Durchmesser, welcher für die ungünstigste Diagonalenbelastung die belastete und unbelastete Kuppelhälfte trennt, liegt ein belasteter und ein unbelasteter Sparren. Nehmen wir nun an, daß die Spannung im ersteren so groß ist, als wenn die ganze Kuppel permanent und mobil belastet wäre, im zweiten so groß, als wenn die ganze Kuppel nur permanent belastet wäre, und machen wir die im Knotenpunkte anschließende Diagonale stark genug, um die ganze Spannungsdifferenz zu übertragen, so wird dieselbe jedenfalls zu stark, ist also als ausreichend zu betrachten.

Im obersten Sparrenstück sind die größten und kleinsten Druckspannungen bezw.

$$S_{1 \max} = -\frac{P_1 + G_1}{n \sin \alpha_1} \quad \text{und} \quad S_{1 \min} = -\frac{G_1}{n \sin \alpha_1}.$$

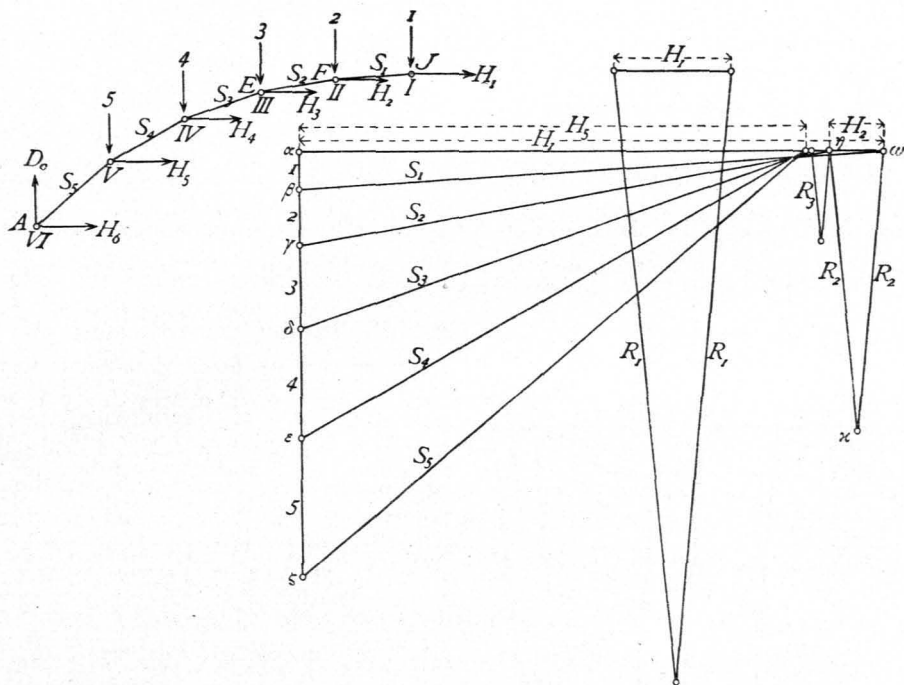
Die Differenz beider Spannungen ist  $\Delta_1 = -\frac{P_1}{n \sin \alpha_1}$ . Dieselbe soll durch die Diagonale übertragen werden; es ist also nahezu, wenn der Winkel zwischen Diagonale und belastetem Sparren  $\gamma_1$  genannt wird,  $Y_1 \cos \gamma_1 = -\Delta$ , daher

$$\left. \begin{aligned} Y_1 &= \frac{P_1}{n \sin \alpha_1 \cos \gamma_1}, \quad Y_2 = +\frac{P_1 + P_2}{n \sin \alpha_2 \cos \gamma_2} \\ Y_3 &= \frac{P_1 + P_2 + P_3}{n \sin \alpha_3 \cos \gamma_3}, \quad Y_4 = \frac{P_1 + P_2 + P_3 + P_4}{2n \sin \alpha_4 \cos \gamma_4} \end{aligned} \right\} \dots \dots 330.$$

Auf graphischem Wege lassen sich die Spannungen in den einzelnen Stäben einer Kuppel in folgender Weise ermitteln.

a) Sparrenspannungen durch das Eigengewicht. Die Lasten in den einzelnen Knotenpunkten seien 1, 2, 3, 4, 5 (Fig. 316); man trage dieselben zu einem Kraftpolygon  $\alpha \beta \gamma \delta \epsilon \zeta$  an einander. Im Knotenpunkte  $\mathcal{F}$  wirkt 1, die Sparrenspannung  $S_1$  und die resultierende  $H_1$  der Ringspannungen  $R_1$ . Die Zerlegung der Kraft 1 nach den beiden Richtungen von  $S_1$  und  $H_1$  ergibt  $\beta \omega = S_1$ ,  $\omega \alpha = H_1$ . Am Knotenpunkt  $F$  wirken nun 2,  $S_1$ ,  $S_2$  und  $H_2$ ; bekannt sind 2 und  $S_1$ ; man erhält  $\gamma \eta = S_2$ ,  $\eta \omega = H_2$ . Eben so ergeben sich die übrigen Sparrenspannungen.

Fig. 316.



β) Spannungen in den Sparren durch mobile Belastung. Die Construction ist in gleicher Weise, wie sub α vorzunehmen, nachdem die in den einzelnen Knotenpunkten wirkenden mobilen Lasten genau wie oben aufgetragen und behandelt sind.

γ) Ringspannungen durch das Eigengewicht. Die Zerlegung der für diese Belastung gefundenen Werthe von  $H$  ergibt ohne Schwierigkeit die Werthe für  $R_1^g, R_2^g, \dots$ , wie in Fig. 316 gezeichnet. Die Construction empfiehlt sich für die vorliegende Ermittlung nicht sehr, weil sie der spitzen Schnittwinkel wegen nur ungenaue Resultate giebt, die Schnittpunkte vielfach nicht mehr auf die Zeichenebene fallen. So ist  $H_1$  in Fig. 316 im fünffach verkleinerten Maßstabe aufgetragen, um  $R_1$  zu construiren.

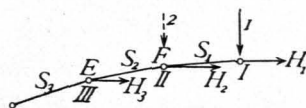
δ) Ringspannungen durch mobile Belastung. Maximalspannung im Ringe II findet statt, wenn nur die Ringzone I mobil belastet ist. Es sei (Fig. 318 a)  $ab = \frac{P_1}{n}$ ; alsdann wird  $bf = S_1, fa = H_1$ .

Im Knotenpunkt F (Fig. 317) sind  $S_1, S_2$  und  $H_2$  im Gleichgewicht, d. h. das Kräfte-dreieck für Punkt F wird  $bgf$ . Darin ist  $H_2 = gf$  und  $gi = if = R_2^{max}$ .

Im Ringe III ist Maximalspannung, wenn die Zonen zu den Ringen I und II mobil belastet sind; alsdann wirken in F die Kräfte  $S_1 = fb, z = bc = \frac{P_2}{n}, S_2'$  und  $H_2'$ . Man erhält leicht  $H_2' = hf, S_2' = ch$ . In E sind dann  $S_2', S_3$  und  $H_3$  im Gleichgewicht und  $H_3 = kh$ , woraus  $R_3^{max} = kl = lh$ . Eben so wird  $R_4^{max} = on = mo$  etc.

Minimalspannung im Ringe I findet bei totaler Kuppelbelastung statt; alsdann wirkt in F die Kraft  $i = \frac{P_1}{n}$ , und es wird, wenn (Fig. 318 b)  $ab = i$  ist,  $ia = H_1$ . Die Zerlegung in die beiden Ringspannungen ist dann in gleicher Weise wie oben vorzunehmen. Für Ring II findet Minimalspannung bei einer Belastung der Zonen II, III, IV statt; I ist unbelastet;

Fig. 317.



mithin ist  $S_1$  alsdann gleich Null (siehe Gleichung 319). Ist  $bc = \frac{P_2}{n} = 2$ , so wird  $hb = H_2$ . So wird weiter für die Minimalbelastungen der einzelnen Ringe  $H_3 = kc$ ,  $H_4 = md$ ,  $H_5 = ne$ .

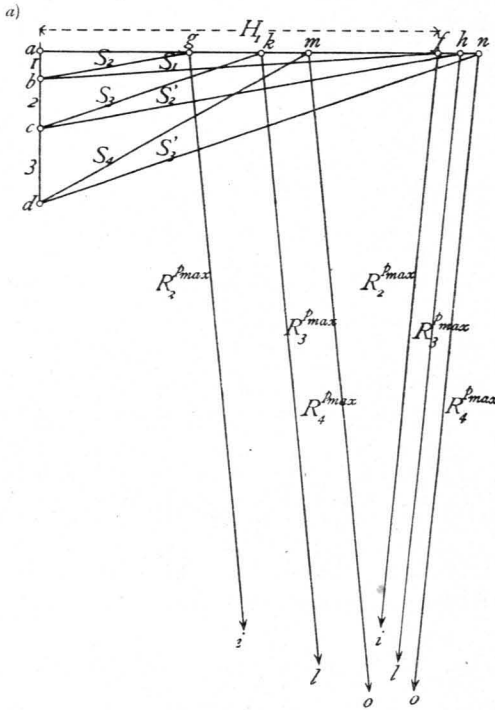
ε) Die Construction der Spannungen in den Diagonalen ist so einfach, daß dieselbe nicht weiter gezeigt zu werden braucht.

3) Erzeugende Kuppelcurve.

454.  
Parabel-  
Kuppel.

Die erzeugende Curve ist in den meisten Fällen eine Parabel der Gleichung (Fig. 319)  $y = \frac{h x^2}{r^2}$ , bei welcher der Anfangspunkt der Coordinaten im Scheitel  $C$  liegt, die halbe Spannweite gleich  $r$ , die Pfeilhöhe gleich  $h$  gesetzt ist, oder eine cubische Parabel der Gleichung  $y = \frac{h x^3}{r^3}$ .

Fig. 318.



Letztere Curvenform hat den Vortheil, daß in den Zwischenringen bei gleichmäßig vertheilter totaler Belastung die Spannung Null herrscht und daß die Spannungen in den Sparren nahezu constant find, was sich folgender Mafsen ergibt.

Die Spannung im Sparrentheil  $EF$  (Fig. 320) ist durch Betrachtung des Fragmentes zwischen dem Scheitel  $C$  und dem durch die Sparrenmitte gelegten Schnitt  $II$  zu ermitteln. Die algebraische Summe der auf das Fragment wirkenden Verticalkräfte ist gleich Null, daher, wenn wir die belastende Grundfläche mit  $F_1$ , die Belastung pro  $1\text{qm}$  der Grundfläche mit  $g$  bezeichnen,  $S \sin \alpha = g F_1$ . Nun ist  $F_1 = \frac{x^2 \pi}{n}$ , mithin  $S \sin \alpha = \frac{g x^2 \pi}{n} = S \cos \alpha \operatorname{tg} \alpha$ .

Fig. 319.

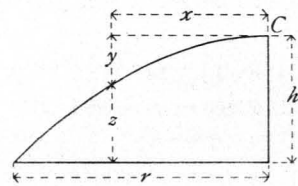
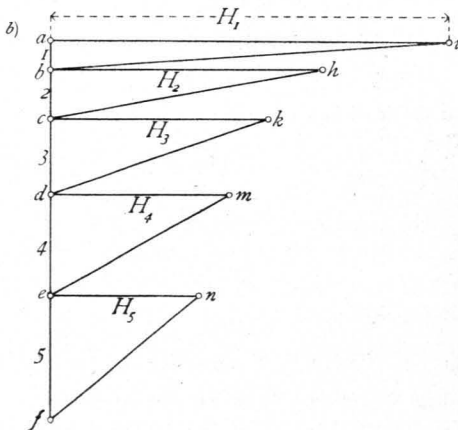
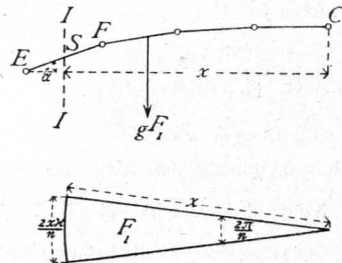


Fig. 320.



Wird statt des Polygons die stetig gekrümmte Curve der Berechnung zu Grunde gelegt, so ist  $y = \frac{h x^3}{r^3}$  und  $\operatorname{tg} \alpha = \frac{dy}{dx} = \frac{3 h x^2}{r^3}$ ; mithin

$$S \cos \alpha \frac{3 h x^2}{r^3} = \frac{g x^2 \pi}{n}, \text{ woraus } S \cos \alpha = \frac{g \pi r^3}{3 n h}, \dots \dots \dots 331.$$

d. h.  $S \cos \alpha$  ist constant. Da aber wegen der flachen Neigung der Kuppel der Winkel  $\alpha$  sehr klein ist, so variirt auch  $\cos \alpha$  sehr wenig; die Spannung ist daher im ganzen Sparren nahezu constant.

Betrachten wir nun einen Knotenpunkt  $E$  (Fig. 314) und setzen die algebraische Summe der in ihm wirkenden Horizontalkräfte gleich Null, so wird

$$0 = S_m \cos \alpha_m - S_{m-1} \cos \alpha_{m-1} - H_m, \text{ woraus } H_m = S_m \cos \alpha_m - S_{m-1} \cos \alpha_{m-1} = 0, \text{ da nach Gleichung 331. } S \cos \alpha \text{ constant ist. Die Ringspannung ist dann}$$

$$R = \frac{H}{2 \sin \frac{\pi}{n}} = 0 \dots \dots \dots 332.$$

Die obigen Angaben sind damit bewiesen.

Es möge noch bemerkt werden, daß der theoretische Materialaufwand bei einer nach der cubischen Parabel gekrümmten Kuppel nur  $\frac{2}{3}$  desjenigen Materialaufwandes beträgt, der sich bei einer nach der gemeinen Parabel gekrümmten Kuppel ergibt.

Beispiel. Es ist ein Kuppeldach von nachfolgenden Hauptdimensionen und Belastungen zu construiren: Durchmesser des zu überdachenden kreisförmigen Raumes gleich 47 m, demnach der Durchmesser des dem Mauerring umschriebenen Parallelkreises  $2L = 48$  m; Scheitelhöhe der Kuppel  $h = 8$  m; es sind 6 Ringe mit den Radien 4, 8, 12, 16, 20 und 24 m und  $n = 32$  Sparren anzuordnen; das Eigengewicht ist zu 70 kg pro 1 qm Grundfläche anzunehmen; als mittlere Dachneigung ist  $\frac{h}{2L} = \frac{8}{48} = \frac{1}{6}$  einzuführen, und es ergibt sich hieraus nach Art. 411, S. 377 ff. als Belastung durch Schnee

455.  
Beispiel.

pro 1 qm Grundfläche 75 kg, als Belastung durch Winddruck pro 1 qm Grundfläche  $w = 30$  kg, so daß die gesammte mobile Belastung pro 1 qm Grundfläche 105 kg beträgt; die Laterne wiegt 2000 kg.

Die Kuppelfläche sei durch Rotation einer cubischen Parabel der Gleichung

$$y = \frac{h x^3}{r^3} = \frac{8}{24^3} x^3 = 0,00058 x^3$$

entstanden; man erhält für die verschiedenen, durch die Ringe vorgeschriebenen Eckpunkte des Polygons (Fig. 321):

$x =$	4	8	12	16	20	24 m
$y =$	0,04	0,30	1,00	2,38	4,64	8,0 "
$h - y = z =$	7,96	7,70	7,00	5,62	3,36	0 "

Ferner ist:

$$\Delta_1 = y_2 - y_1 = 0,26 \text{ m}; \Delta_2 = y_3 - y_2 = 0,7 \text{ m}; \Delta_3 = y_4 - y_3 = 1,38 \text{ m}; \Delta_4 = y_5 - y_4 = 2,26 \text{ m}; \Delta_5 = y_6 - y_5 = 3,36 \text{ m}.$$

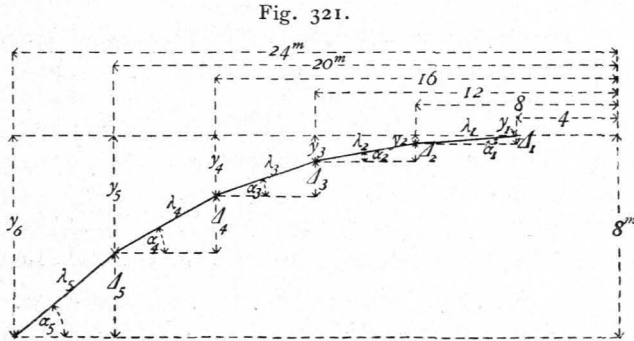
$$\lambda_1 = \sqrt{4^2 + \Delta_1^2} = 4,01 \text{ m}; \lambda_2 = 4,06 \text{ m}; \lambda_3 = 4,23 \text{ m}; \lambda_4 = 4,59 \text{ m}; \lambda_5 = 5,22 \text{ m}.$$

$$\sin \alpha_1 = \frac{\Delta_1}{\lambda_1} = 0,0648; \sin \alpha_2 = 0,1724; \sin \alpha_3 = 0,32; \sin \alpha_4 = 0,192; \sin \alpha_5 = 0,644.$$

$$\operatorname{cotg} \alpha_1 = \frac{4}{\Delta_1} = 15,38; \operatorname{cotg} \alpha_2 = 5,7; \operatorname{cotg} \alpha_3 = 2,9; \operatorname{cotg} \alpha_4 = 1,77; \operatorname{cotg} \alpha_5 = 1,19.$$

$$\frac{\pi}{n} = \frac{180}{32} = 5^\circ 37,5'; \sin \frac{\pi}{n} = \sin 5^\circ 37,5' = 0,098; \frac{1}{2 n \sin \frac{\pi}{n}} = \frac{1}{64 \cdot 0,098} = 0,16.$$

Die Eigengewichte, bezw. mobilen Belastungen der einzelnen Ringe sind:



- Laternenring:  $G_1 = 2000 + 6^2 \pi \cdot 70 = 9913 \text{ kg}$ ,  $P_1 = 6^2 \pi \cdot 105 = 11869 \text{ kg}$ ;  
 2. Ring:  $G_2 = (10^2 - 6^2) \pi \cdot 70 = 14067 \text{ kg}$ ,  $P_2 = (10^2 - 6^2) \pi \cdot 105 = 21105 \text{ kg}$ ;  
 3. Ring:  $G_3 = (14^2 - 10^2) \pi \cdot 70 = 21100 \text{ kg}$ ,  $P_3 = (14^2 - 10^2) \pi \cdot 105 = 31647 \text{ kg}$ ;  
 4. Ring:  $G_4 = (18^2 - 14^2) \pi \cdot 70 = 28133 \text{ kg}$ ,  $P_4 = (18^2 - 14^2) \pi \cdot 105 = 42200 \text{ kg}$ ;  
 5. Ring:  $G_5 = (22^2 - 18^2) \pi \cdot 70 = 35168 \text{ kg}$ ,  $P_5 = (22^2 - 18^2) \pi \cdot 105 = 52752 \text{ kg}$ .

Die Spannungen in den Sparren, welche durch das Eigengewicht hervorgebracht werden, sind nach Gleichung 320.:

$$S_1^g = - \frac{G_1}{n \sin \alpha_1} = - \frac{9913}{32 \cdot 0,065} = - 4766 \text{ kg};$$

$$S_2^g = - \frac{G_1 + G_2}{n \sin \alpha_2} = - \frac{23980}{32 \cdot 0,1724} = - 4346 \text{ kg};$$

$$S_3^g = - \frac{G_1 + G_2 + G_3}{n \sin \alpha_3} = - \frac{45080}{32 \cdot 0,32} = - 4402 \text{ kg};$$

$$S_4^g = - \frac{G_1 + G_2 + G_3 + G_4}{n \sin \alpha_4} = - \frac{73213}{32 \cdot 0,492} = - 4651 \text{ kg};$$

$$S_5^g = - \frac{G_1 + G_2 + G_3 + G_4 + G_5}{n \sin \alpha_5} = - \frac{108381}{32 \cdot 0,644} = - 5258 \text{ kg}.$$

Die durch mobile Belastung erzeugten Sparrenspannungen betragen:

$$S_1^p = - \frac{P_1}{n \sin \alpha_1} = - \frac{11869}{2,08} = - 5706 \text{ kg};$$

$$S_2^p = - \frac{P_1 + P_2}{n \sin \alpha_2} = - \frac{32974}{5,517} = - 5977 \text{ kg};$$

$$S_3^p = - \frac{P_1 + P_2 + P_3}{n \sin \alpha_3} = - \frac{64621}{10,24} = - 6310 \text{ kg};$$

$$S_4^p = - \frac{P_1 + P_2 + P_3 + P_4}{n \sin \alpha_4} = - \frac{106821}{15,74} = - 6786 \text{ kg};$$

$$S_5^p = - \frac{P_1 + P_2 + P_3 + P_4 + P_5}{n \sin \alpha_5} = - \frac{159573}{20,61} = - 7742 \text{ kg}.$$

Die Ringspannungen, welche durch das Eigengewicht hervorgerufen werden, sind nach Gleichung 323.

Laternenring:  $R_1^g = - 9913 \cdot 15,38 \cdot 0,16 = - 24396 \text{ kg}$ ;

$$R_2^g = - (23980 \cdot 5,7 - 9913 \cdot 15,38) \cdot 0,16 = + 2524 \text{ kg};$$

$$R_3^g = - (45080 \cdot 2,9 - 23980 \cdot 5,7) \cdot 0,16 = + 953 \text{ kg};$$

$$R_4^g = - (73213 \cdot 1,77 - 45080 \cdot 2,9) \cdot 0,16 = + 183 \text{ kg};$$

$$R_5^g = - (108381 \cdot 1,19 - 73213 \cdot 1,77) \cdot 0,16 = + 98 \text{ kg};$$

Mauerring:  $R_6^g = 108381 \cdot 1,19 \cdot 0,16 = 20636 \text{ kg}$ .

Die Maximal- und Minimalspannungen in den Ringen, durch mobile Belastung erzeugt, betragen nach Gleichung 328.:

Laternenring:  $R_1^{p \min} = - 11869 \cdot 15,38 \cdot 0,16 = - 29159 \text{ kg}$  u.  $R_1^{p \max} = 0$ ;

2. Ring:  $R_2^{p \min} = - 21105 \cdot 5,7 \cdot 0,16 = - 19248 \text{ kg}$ ,  
 $R_2^{p \max} = 11869 (15,38 - 5,7) \cdot 0,16 = + 18387 \text{ kg}$ ;

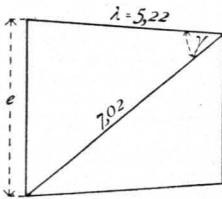
3. Ring:  $R_3^{p \min} = - 31647 \cdot 2,9 \cdot 0,16 = - 14684 \text{ kg}$ ,  
 $R_3^{p \max} = 32974 \cdot 2,8 \cdot 0,16 = + 14472 \text{ kg}$ ;

4. Ring:  $R_4^{p \min} = - 42200 \cdot 1,77 \cdot 0,16 = - 11951 \text{ kg}$ ,  
 $R_4^{p \max} = 64621 \cdot 1,13 \cdot 0,16 = + 11696 \text{ kg}$ ;

5. Ring:  $R_5^{p \min} = - 52752 \cdot 1,19 \cdot 0,16 = - 10023 \text{ kg}$ ,  
 $R_5^{p \max} = 106821 \cdot 0,58 \cdot 0,16 = + 9913 \text{ kg}$ ;

Mauerring:  $R_6^{p \min} = 0$  und  $R_6^{p \max} = 159573 \cdot 1,19 \cdot 0,16 = + 30319 \text{ kg}$ .

Fig. 322.



Was schliesslich die Spannungen in den Diagonalen betrifft, so brauchen wir nur die am stärksten beanspruchte Diagonale zu berechnen, weil selbst diese noch sehr schwach wird. Gewöhnlich macht man dann alle Diagonalen gleich stark.

Die größte durch mobile Belastung erzeugte Sparrenspannung ist durch die Diagonale zu übertragen (siehe Art. 452, S. 422); dieselbe ist  $S_5^p = -7742 \text{ kg}$ , und es hat demnach eine Diagonale höchstens diese Kraft aufzunehmen. Die Spannung in der Diagonalen wird demnach kleiner sein, als  $\frac{7742}{\cos \gamma}$ ; da nun nahezu (Fig. 322)  $\cos \gamma = \frac{5,22}{7,02} = 0,744$  ist, wird  $Y < \frac{7742}{0,744}$  oder  $Y < 10\,406 \text{ kg}$  fein.

Man könnte noch für einige der oberen Diagonalen die Spannungen auffuchen, was nach dem Vorstehenden keine Schwierigkeit macht. Für die Querschnittsbestimmungen kann nun, wie bei den früheren Beispielen, eine Tabelle aufgestellt werden.

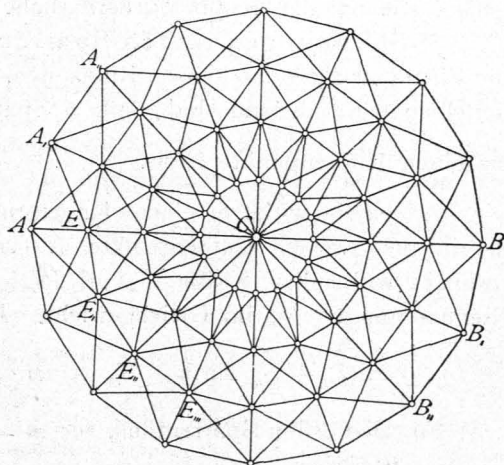
Bezeichnung des Stabes	$P_0$	$P_1$	Bezeichnung des Stabes	$P_0$	$P_1$	$P_2$
Sparren:			Ringe:			
$S_1$	- 4766	- 5706	$R_1$	- 24 396	- 29 159	0
$S_2$	- 4346	- 5977	$R_2$	+ 2 524	+ 18 387	- 19 248
$S_3$	- 4402	- 6310	$R_3$	+ 953	+ 14 472	- 14 684
$S_4$	- 4651	- 6786	$R_4$	+ 183	+ 11 696	- 11 951
$S_5$	- 5258	- 7742	$R_5$	+ 98	+ 9 913	- 10 023
Diagonalen:			$R_6$	+ 20 636	+ 30 319	0
$Y$	0	10 406				
	Kilogramm.			Kilogramm.		

### b) Flache Zeldächer.

Die Zeldächer bilden Pyramiden, und zwar in den allermeisten Fällen reguläre Pyramiden. Man kann sie aus einer Anzahl radial gestellter Binder, die unter die fog. Grate kommen, construiren, in welchem Falle die Berechnung eines jeden Binders unter Zugrundelegung der auf ihn entfallenden Belastungen genau so vorzunehmen ist, wie bei den Balkendächern gezeigt wurde, oder man legt auch hier, wie bei den Kuppeln, alle Constructionstheile in die Dachflächen, so dass sich eine der dortigen ganz analoge Construction ergibt. In diesem Falle (Fig. 323) werden eine Anzahl Bindersparren  $A C$ ,  $A, C$ ,  $A'', C$ ,  $B C$ ,  $B, C$ ,  $B'', C \dots$  angeordnet; zwischen denselben befinden sich horizontale Ringe  $E, E', E'', E''' \dots$  und in den viereckigen Feldern der Dachflächen, wegen der ungleichmäßigen Belastungen, Diagonalen. Auch hier wird oft in der Dachmitte eine Laterne angeordnet, welche sich auf einen Laternenring stützt, gegen den sich die oberen Sparrenenden anlehnen. Wir werden hier nur die der Kuppelconstruction analogen Anordnungen betrachten, da die ersteren keine be-

456.  
Zelt-  
dächer.

Fig. 323.



fonderen Schwierigkeiten bieten. Obgleich die grössere oder geringere Neigung der Dachflächen keinen principiellen Unterschied bedingt, wollen wir die Zeldächer dennoch in flache und steile Zeldächer eintheilen, weil bei den ersteren die Belastung durch Schnee, bei den letzteren diejenige durch Wind die maßgebende mobile Belastung ist.

Zu den flachen Zeldächern gehören die Circus- und Theaterdächer, die Dächer über Locomotivschuppen etc., zu den steilen hauptsächlich die Thurmdächer.

### 1) Belastungen und Auflager-Reactionen.

457.  
Belastungen.

Ueber die Belastung der flachen Zeldächer gilt dasselbe, was von den Belastungen der Kuppeldächer in Art. 450, S. 418 gesagt ist; wir bestimmen also auch hier das Eigengewicht, den Schnee- und den Winddruck pro 1<sup>qm</sup> der Grundfläche, berücksichtigen aber vom Winddruck nur die verticalen Componenten  $v$ , für welche die Werthe in Art. 412, S. 379 angegeben sind. Die Knotenpunktsbelastungen sind den Grundflächen proportional, welche auf die einzelnen Knotenpunkte entfallen, demnach leicht zu ermitteln.

Auch hier betrachten wir nur totale Belastung des ganzen Zeldaches und solche partielle Belastungsarten, bei denen ganze Ringzonen mobil belastet sind.

458.  
Auflager-  
Reactionen.

Von den Auflager-Reactionen gilt gleichfalls dasselbe, was bei den Kuppeldächern gesagt wurde. Da auch hier ein fog. Mauerring die horizontalen Componenten der Spannungen in den untersten Sparrentheilen aufhebt, so sind für die in Aussicht zu nehmenden Belastungsarten die Auflager-Reactionen bei den einzelnen Sparren gleich den auf dieselben entfallenden Lasten.

### 2) Stabspannungen.

459.  
Berechnung  
der Stab-  
spannungen.

$\alpha$ ) Ungünstigste Beanspruchungen der einzelnen Stäbe. Die genaue Bestimmung der ungünstigsten Belastungsarten und der bei ungleichmäsig vertheilter Belastung entstehenden Spannungen ist auch hier sehr complicirt und schwierig. Werden nur totale Belastung des ganzen Daches und die Belastungen ganzer Ringzonen zu Grunde gelegt, so ergibt sich aus den aufzustellenden Gleichungen leicht, daß die ungünstigste Belastungsart für die Sparren, so wie für alle Ringe bei totaler Belastung des ganzen Daches stattfindet. Betreff der Diagonalen verfahren wir genau, wie bei den Kuppeldächern (siehe Art. 452, S. 419).

$\beta$ ) Spannungen in den Sparren. Es mögen wiederum  $G_1, G_2 \dots G_m \dots$  die Eigengewichte der ganzen Ringzonen,  $P_1, P_2 \dots P_m \dots$  die mobilen Belastungen derselben sein; alsdann sind, falls  $n$  Sparren vorhanden sind, die Belastungen der einzelnen Knotenpunkte bezw.  $\frac{G_1}{n}, \frac{G_2}{n} \dots \frac{G_m}{n} \dots$  und  $\frac{P_1}{n}, \frac{P_2}{n} \dots \frac{P_m}{n} \dots$

Allgemein wirke in einem Knotenpunkte (Fig. 324) die Last  $Q$ ; alsdann sind die in dem  $m$ -ten Knotenpunkte  $E$  (von der Laterne, bezw. der Mitte an gerechnet) wirkenden Kräfte  $S_{m-1}, S_m, Q_m$  und die Mittelkraft  $H_m$  der beiden Ringspannungen  $R_m$  im Gleichgewicht. Demnach ist

$$0 = Q_m + S_m \sin \alpha - S_{m-1} \sin \alpha, \text{ woraus } S_m = -\frac{Q_m}{\sin \alpha} + S_{m-1}.$$

Für den ersten Sparrentheil, für  $m = 1$ , wird, falls eine Laterne vorhanden ist,  $S_{m-1} = 0$ ; daher

$$S_1 = -\frac{Q_1}{\sin \alpha}; \quad S_2 = -\frac{Q_2}{\sin \alpha} - \frac{Q_1}{\sin \alpha} = -\frac{Q_2 + Q_1}{\sin \alpha};$$

$$S_3 = -\frac{Q_3}{\sin \alpha} - \frac{Q_2 + Q_1}{\sin \alpha} = -\frac{Q_3 + Q_2 + Q_1}{\sin \alpha} \text{ etc.}$$

Fig. 324.

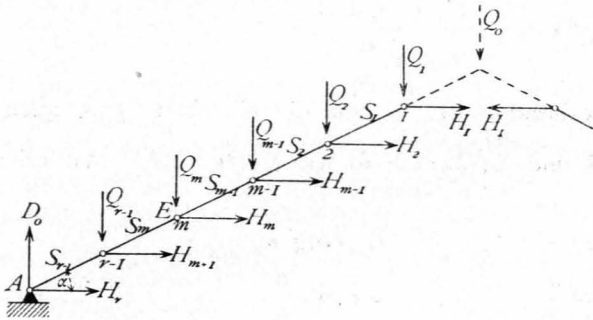
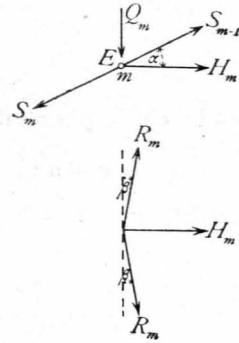
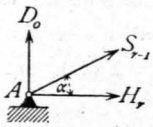


Fig. 325.



Allgemein wird



$$S_m = -\frac{\sum_1^m (Q)}{\sin \alpha} \dots \dots \dots 333.$$

Die Sparrenspannungen durch das Eigenwicht werden erhalten, indem der Reihe nach für  $Q_1, Q_2, Q_3 \dots$  bzw.  $\frac{G_1}{n}, \frac{G_2}{n}, \frac{G_3}{n} \dots$  eingesetzt wird. Man erhält

$$S_m^g = -\frac{\sum_1^m (G)}{n \sin \alpha} \dots \dots \dots 334.$$

Für  $m = 1, 2, 3 \dots$  wird

$$S_1^g = -\frac{G_1}{n \sin \alpha}; \quad S_2^g = -\frac{G_1 + G_2}{n \sin \alpha}; \quad S_3^g = -\frac{G_1 + G_2 + G_3}{n \sin \alpha} \text{ etc.} \quad 335.$$

Aus der Gleichung 333. ergibt sich, daß die Sparrenspannungen durch mobile Last am größten bei totaler Belaftung sind, und zwar wird

$$S_m^{pmax} = -\frac{\sum_1^m (P)}{n \sin \alpha} \dots \dots \dots 336.$$

und für  $m = 1, 2, 3 \dots$

$$S_1^{pmax} = -\frac{P_1}{n \sin \alpha}; \quad S_2^{pmax} = -\frac{P_1 + P_2}{n \sin \alpha}; \quad S_3^{pmax} = -\frac{P_1 + P_2 + P_3}{n \sin \alpha} \text{ etc.} \quad 337.$$

Falls keine Laterne vorhanden ist, gelten die Gleichungen 333. bis 337. ebenfalls; nur ist überall in die Summen auch  $Q_0$  aufzunehmen, d. h. der Theil der Firtbelaftung, welcher auf den Sparren entfällt.

γ) Spannungen in den Ringen. Die algebraische Summe der in E (Fig. 325) wirkenden Horizontalkräfte ist gleich Null, d. h.

$$0 = H_m + S_{m-1} \cos \alpha - S_m \cos \alpha,$$

woraus

$$H_m = (S_m - S_{m-1}) \cos \alpha = -\frac{\sum_1^m (Q) - \sum_1^{m-1} (Q)}{\sin \alpha} \cos \alpha = -Q_m \cotg \alpha.$$

Nun ist  $H_m = 2 R_m \sin \beta$ , und da nach Art. 452, S. 420  $\beta = \frac{\pi}{n}$  ist,

$$R_m = \frac{H_m}{2 \sin \frac{\pi}{n}} = - \frac{Q_m \cotg \alpha}{2 \sin \frac{\pi}{n}} \dots \dots \dots 338.$$

Die Belastung durch das Eigengewicht erzeugt demnach eine Spannung

$$R_m^g = - \frac{G_m \cotg \alpha}{2 n \sin \frac{\pi}{n}} \dots \dots \dots 339.$$

Falls ein Laternenring vorhanden ist, so gilt die Gleichung 338. auch für diesen. Für denselben ist  $m = 1$  und  $\sum_1^{m-1} (Q) = 0$ , so wie  $\sum_1^m (Q) = Q_1$ . Wir erhalten demnach für  $m = 1, 2, 3 \dots$

$$R_1^g = - \frac{G_1 \cotg \alpha}{2 n \sin \frac{\pi}{n}}; \quad R_2^g = - \frac{G_2 \cotg \alpha}{2 n \sin \frac{\pi}{n}} \text{ etc.} \dots \dots \dots 340.$$

Die Gleichungen 339. und 340. ergeben, dass in sämtlichen Ringen durch das Eigengewicht Druck erzeugt wird; die Gleichung 339. gilt aber nicht für den Mauerring. Am Knotenpunkt  $A$  (Fig. 324) wirken die Kräfte  $D_0 = \Sigma (Q)$ ,  $H_r$  und  $S_{r-1}$ ; mithin ist  $S_{r-1} \cos \alpha + H_r = 0$ , woraus  $H_r = - S_{r-1} \cos \alpha$ .

Ferner ist  $D_0 + S_{r-1} \sin \alpha = 0$ , woraus  $S_{r-1} = - \frac{\sum_1^{r-1} (Q)}{\sin \alpha}$ . Es wird demnach

$$H_r = \sum_1^{r-1} (Q) \cotg \alpha \text{ und, da } R_r = \frac{H_r}{2 \sin \frac{\pi}{n}} \text{ ist, wird}$$

$$R_r = \frac{\sum_1^{r-1} (Q) \cotg \alpha}{2 \sin \frac{\pi}{n}} \dots \dots \dots 341.$$

Der Mauerring erhält also Zug.

Das Eigengewicht erzeugt in demselben die Spannung

$$R_r^g = \frac{(G_1 + G_2 + \dots + G_{r-1}) \cotg \alpha}{2 n \sin \frac{\pi}{n}} \dots \dots \dots 342.$$

Die größte durch mobile Belastung erzeugte Spannung findet in einem Ringe nach Gleichung 338. statt, wenn  $Q_m$  seinen größten Werth hat. Da  $Q$  nie negativ wird, so ist die Ringspannung durch mobile Belastung, abgesehen vom Mauerring, stets Druck. Es wird demnach

$$R_1^{p \min} = - \frac{P_1 \cotg \alpha}{2 n \sin \frac{\pi}{n}}; \quad R_2^{p \min} = - \frac{P_2 \cotg \alpha}{2 n \sin \frac{\pi}{n}} \text{ etc.};$$

allgemein

$$R_m^{p \min} = - \frac{P_m \cotg \alpha}{2 n \sin \frac{\pi}{n}} \dots \dots \dots 343.$$

Weiters ist  $R_1^{p \max} = R_2^{p \max} = R_m^{p \max} = 0$ . Die größte Druckspannung in einem Ringe findet also schon statt, wenn nur die betreffende Zone belastet ist; die Be-

lastung der übrigen Zonen ist auf die Ringspannung ohne Einfluss. Wir können demnach auch sagen, dass die größte Ringspannung in allen Ringen bei mobiler Belastung des ganzen Daches stattfindet.

Im Mauerring findet der größte Zug durch mobile Belastung bei totaler Belastung statt, und es ist derselbe

$$R_r^{p,max} = \frac{(P_1 + P_2 \dots + P_{r-1}) \cotg \alpha}{2 n \sin \frac{\pi}{n}} \dots \dots \dots 344.$$

Druck findet in demselben nicht statt.

δ) Spannungen in den Diagonalen. Für dieselbe Belastungsart, welche bei den Kuppeln zu Grunde gelegt ist, ergibt sich die Spannungsdifferenz in zwei benachbarten Sparren, zwischen denen die Belastungsgrenze liegt, zu

$$\Delta = \frac{\sum_1^m (P + G)}{n \sin \alpha} - \frac{\sum_1^m (G)}{n \sin \alpha} = \frac{\sum_1^m (P)}{n \sin \alpha}$$

und die Spannung in der Diagonalen, welche dieselbe übertragen soll, höchstens zu

$$Y = \frac{\sum_1^m (P)}{n \sin \alpha \cos \gamma},$$

wenn  $\gamma$  der Winkel zwischen der Diagonalen und dem Sparren ist. Demnach wird

$$Y_1 \leq \frac{P_1}{n \sin \alpha \cos \gamma_1};$$

$$Y_2 \leq \frac{P_1 + P_2}{n \sin \alpha \cos \gamma_2} \text{ etc.} \dots 345.$$

Um die Stabspannungen auf geometrischem Wege (Fig. 326 und 327) zu ermitteln, seien die Belastungen der einzelnen Knotenpunkte 1, 2, 3, 4; alsdann ergibt sich leicht, wenn  $\alpha\beta = 1$ ,  $\beta\gamma = 2$ ,  $\gamma\delta = 3$ ,  $\delta\varepsilon = 4$  gemacht wird,  $\beta\zeta = S_1$ ,  $\zeta\alpha = H_1$ ,  $\gamma\eta = S_2$ ,  $\eta\zeta = H_2$ ,  $\delta\vartheta = S_3$ ,  $\vartheta\eta = H_3$ ,  $\varepsilon\kappa = S_4$ ,  $\kappa\vartheta = H_4$ ; ferner  $\varepsilon\alpha = D_0$ ,  $\alpha\lambda = H_5$ ,  $\zeta\lambda = R_1$ ,  $\eta\mu = \mu\zeta = R_2$ ,  $\vartheta\nu = \nu\eta = R_3$ ,  $\kappa\sigma = \sigma\vartheta = R_4$  und  $\alpha\sigma = \sigma\lambda = R_5$  (= Mauerringspannung).

Je nachdem nun die Kräfte 1, 2, 3, 4 die Eigengewichte oder die mobilen Lasten bedeuten, erhält man die durch die eine oder andere Belastung erzeugten Spannungen. Die Spannungen in den Diagonalen sind leicht zu construieren.

**c) Steile Zeldächer (Thurmdächer).**

Als verticale Belastung ist hier nur das Eigengewicht einzuführen. Eine Belastung durch Schnee findet nicht statt, weil wegen der großen Steilheit des Daches der Schnee nicht liegen bleibt. Diese verticale Belastung erzeugt, da die Con-

Fig. 326.

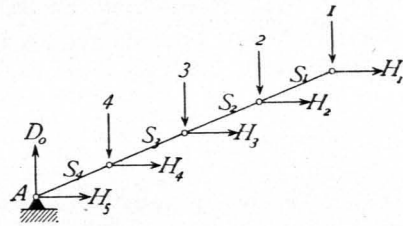
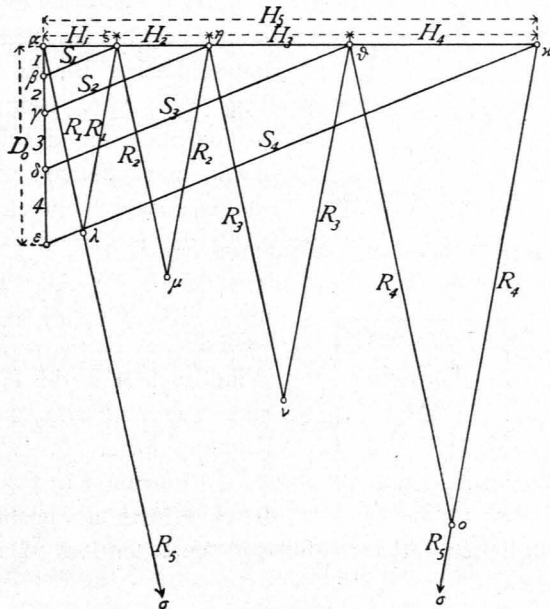


Fig. 327.



460. Graphische Ermittlung der Stabspannungen.

fruction genau so, wie bei den flachen Zeltdächern, aus Sparren und Ringen zusammengefügt wird, Spannungen, welche genau, wie dort gezeigt wurde, zu berechnen sind. Auf diese Berechnung soll deshalb hier nicht weiter eingegangen werden. Dagegen spielt der Winddruck hier eine große Rolle, und es sollen die durch diesen erzeugten Spannungen berechnet werden. Wir werden zunächst die Berechnung für ein vierseitiges Pyramidendach zeigen, für welches eine genaue Berechnung möglich ist.

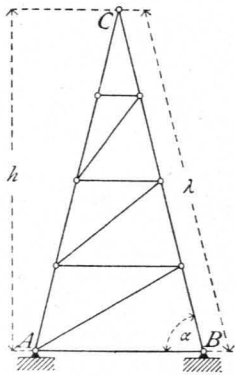
1) Vierseitiges Pyramidendach.

461.  
Belastung.

Der Winddruck auf eine Pyramidenseite ist am größten, wenn die Windrichtung im Grundriss normal zu der betreffenden Rechteckseite steht. Alsdann ist der Winddruck pro 1<sup>qm</sup> schräger Dachfläche (Fig. 328 und 329) nach Gleichung 273.  $v = 120 \sin^2(\alpha + 10^\circ)$ ; die vom Winde getroffene schräge Dachfläche ist

Fig. 328.

$$F = \frac{a \lambda}{2} = \frac{a h}{2 \sin \alpha},$$



mithin der Gesamtdruck gegen eine Pyramidenseite

$$N = \frac{a h v}{2 \sin \alpha} \quad 346.$$

Wir denken uns nun in der Symmetrieebene II einen ideellen Binder ACB (Fig. 330) und bestimmen die darin durch den Winddruck entstehenden Spannungen; wir nehmen vorläufig die Horizontalen und Diagonalen, wie in Fig. 330 gezeichnet, an. Auf ein oben befindliches Kreuz wirke ein Winddruck W in der Höhe e<sub>0</sub> über dem Firfipunkt C; außerdem wirken in den Knotenpunkten C, E, F, G ... die Kräfte N<sub>0</sub>, N<sub>1</sub>, N<sub>2</sub>, N<sub>3</sub> ... normal zur Dachfläche; die Größe dieser Kräfte ist leicht aus den auf die

Fig. 330.

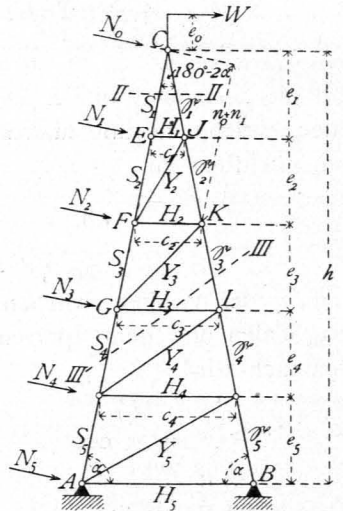
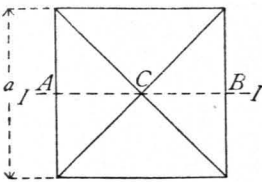
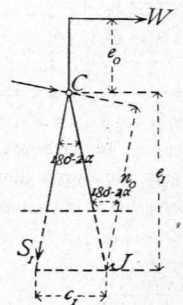


Fig. 329.



bezüglichen Knotenpunkte entfallenden Dachflächen zu ermitteln.

Fig. 331.



462.  
Berechnung  
d. Spannungen  
im ideellen  
Binder.

a) Berechnung der Spannungen im ideellen Binder. Um die Sparrenspannung S<sub>1</sub> (Fig. 330) an der Windseite zu erhalten, lege man einen beliebigen Schnitt durch CE, etwa nach III, und betrachte das Fragment oberhalb des Schnittes. Wählt man  $\mathcal{F}$  als Momentenpunkt, so heisst die Gleichung der statischen Momente (Fig. 331):

$$0 = S_1 e_1 \sin \alpha - W(e_0 + e_1) - N_0 n_0.$$

Nun ist  $\overline{C\mathcal{F}} = \frac{e_1}{\sin \alpha}$  und  $\cos(180 - 2\alpha) = \frac{n_0}{C\mathcal{F}} = -\cos 2\alpha$ , daher

$n_0 = -\overline{CF} \cos 2\alpha = -\frac{e_1}{\sin \alpha} (\cos^2 \alpha - \sin^2 \alpha) = \frac{e_1 (\sin^2 \alpha - \cos^2 \alpha)}{\sin \alpha}$ . Man erhält hiernach

$$S_1 = \frac{W(e_0 + e_1)}{c_1 \sin \alpha} + \frac{N_0 e_1 (\sin^2 \alpha - \cos^2 \alpha)}{c_1 \sin^2 \alpha}.$$

Für irgend einen Sparren  $FG$  ist  $K$  der conjugirte Punkt, und es ergibt sich  $S_3$  aus der Momentengleichung

$$0 = S_3 c_2 \sin \alpha - W(e_0 + e_1 + e_2) - N_0(n_0 + n_1) - N_1 n_1 + N_2 c_2 \cos \alpha,$$

$$S_3 = \frac{1}{c_2 \sin \alpha} [W(e_0 + e_1 + e_2) + N_0(n_0 + n_1) + N_1 n_1 - N_2 c_2 \cos \alpha],$$

$$S_3 = \frac{1}{c_2 \sin \alpha} [W(e_0 + e_1 + e_2) + N_0(n_0 + n_1) + N_1 n_1] - N_2 \cotg \alpha.$$

Für irgend einen Sparren  $KL$  auf der Unterwindseite ist  $G$  der conjugirte Punkt und

$$0 = \mathfrak{S}_3 c_3 \sin \alpha + W(e_0 + e_1 + e_2 + e_3) + \frac{N_0(e_1 + e_2 + e_3)}{\sin \alpha} + \frac{N_1(e_2 + e_3)}{\sin \alpha} + \frac{N_2 e_3}{\sin \alpha},$$

woraus

$$\mathfrak{S}_3 = -\frac{1}{c_3 \sin \alpha} \left[ W(e_0 + e_1 + e_2 + e_3) + \frac{N_0(e_1 + e_2 + e_3) + N_1(e_2 + e_3) + N_2 e_3}{\sin \alpha} \right].$$

Eben so ergeben sich leicht alle Sparrenspannungen, fowohl auf der Windseite, wie auf der Unterwindseite.

Die Sparren auf der Windseite werden gezogen, diejenigen auf der Unterwindseite werden gedrückt.

Die Spannungen in den Horizontalen und Diagonalen werden gleichfalls mittels der Momentenmethode ermittelt. Um die Spannung  $H_3$  in  $GL$  zu finden, schneide man schräg nach  $III III$ ; alsdann ist  $C$  der conjugirte Punkt, und die Momentengleichung für  $C$  heist

$$0 = H_3(e_1 + e_2 + e_3) - W e_0 + \frac{N_1 e_1}{\sin \alpha} + \frac{N_2(e_1 + e_2)}{\sin \alpha} + \frac{N_3(e_1 + e_2 + e_3)}{\sin \alpha},$$

woraus

$$H_3 = -\frac{N_1 e_1 + N_2(e_1 + e_2) + N_3(e_1 + e_2 + e_3)}{(e_1 + e_2 + e_3) \sin \alpha} + \frac{W e_0}{e_1 + e_2 + e_3}.$$

Die Spannung  $Y_3$  endlich in der Diagonalen  $GK$  wird, da für  $GK$  wiederum  $C$  der conjugirte Punkt ist, durch die Momentengleichung für  $C$  gefunden. Dieselbe heist, wenn  $y_3$  der Hebelsarm von  $Y_3$  für den Momentenpunkt  $C$  ist,

$$0 = Y_3 y_3 + W e_0 - \frac{N_1 e_1}{\sin \alpha} - \frac{N_2(e_1 + e_2)}{\sin \alpha},$$

woraus

$$Y_3 = \frac{1}{y_3} \frac{N_1 e_1 + N_2(e_1 + e_2)}{\sin \alpha} - \frac{W e_0}{y_3}.$$

Ob die Diagonalen und Horizontalen Druck oder Zug erhalten, hängt von der Größe des Momentes  $W e_0$  wesentlich ab. Ist  $W = 0$ , so werden bei der gezeichneten Richtung der Diagonalen die Horizontalen gedrückt, die Diagonalen gezogen. Bei der entgegengesetzten Windrichtung findet entgegengesetzte Beanspruchung statt.

463.  
Graphische  
Ermittlung  
d. Spannungen  
im ideellen  
Binder.

β) Graphische Ermittlung der Spannungen im ideellen Binder. Wird zunächst von der Kraft  $W$  abgesehen, so ergibt sich ohne Schwierigkeit der in Fig. 332 gezeichnete Kräfteplan, worin alle Stabspannungen, welche durch Winddruck erzeugt werden, enthalten sind.

Fig. 332.

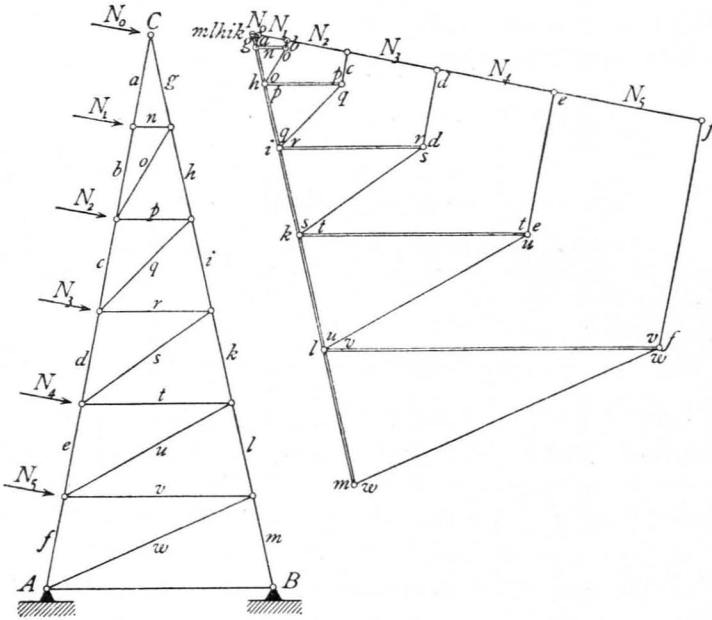
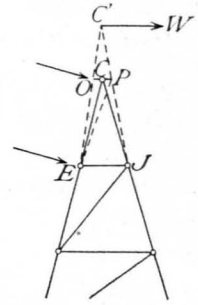


Fig. 333.



Falls noch ein Winddruck  $W$  vorhanden ist, so empfiehlt es sich, für die graphische Bestimmung der Spannungen statt der wirklich vorhandenen Stäbe  $EC$  und  $JC$  zwei Stäbe  $EC'$  und  $J'C'$  einzuführen, wobei  $C'$  der Schnittpunkt der Kraft  $W$  mit der Mittelverticalen Fig. 333 ist; die Er-

mittlung kann dann für den Turm mit der Spitze  $EOC'PJ'$  nach der Cremona'schen Methode erfolgen. Die Spannungen in  $EC$  und  $J'C$  können mit geringem Fehler denjenigen, welche sich für  $EO$  und  $PJ'$  ergeben haben, gleich gesetzt werden.

464.  
Wirkliche  
Stab-  
spannungen.

γ) Reduction der Spannungen im ideellen Binder auf die wirklichen Stabspannungen. Die bisher berechneten Spannungen finden im ideellen Binder  $ACB$  (Fig. 334) statt. Jede Spannung in einem Stabe des ideellen Binders wird nun durch zwei Stabspannungen der beiden wirklichen Binder geleistet, deren Ebenen mit derjenigen des ideellen Binders den Winkel  $(90 - \alpha)$  einschließen.

Fig. 334.

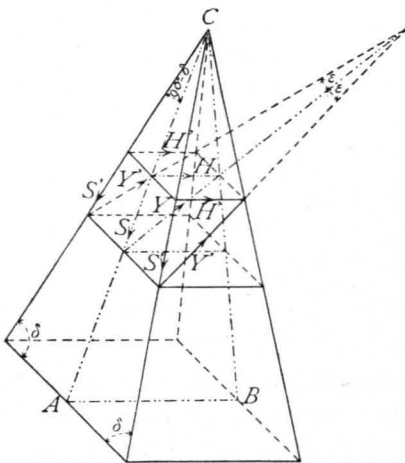


Fig. 335.



Die Spannung  $S$  in irgend einem Sparren des ideellen Binders wird durch zwei Spannungen  $S'$  ersetzt; demnach ist  

$$S = 2 S' \cos (90 - \delta) = 2 S' \sin \delta,$$
woraus

$$S' = \frac{S}{2 \sin \delta}; \quad \cdot 346^a$$

eben fo

$$\mathcal{E}' = \frac{\mathcal{E}}{2 \sin \delta} \dots \dots \dots 347.$$

Ferner wird

$$H = 2 H', \text{ woraus } H' = \frac{H}{2}; \dots \dots \dots 348.$$

$$Y = 2 Y' \cos \varepsilon, \text{ woraus } Y' = \frac{Y}{2 \cos \varepsilon} \dots \dots \dots 349.$$

Auch auf constructivem Wege ist die Reduction leicht durchzuführen. Man construire (Fig. 335) den Winkel  $(90 - \delta)$ , bzw.  $\varepsilon$ , was keine Schwierigkeiten macht. Ist  $\sphericalangle r m n = 90 - \delta$ , fo ist  $\overline{m r} = \frac{\overline{m n}}{\sin \delta}$ . Man trage demnach die Werthe für  $\frac{S}{2}$  und  $\frac{\mathcal{E}}{2}$  auf der Linie  $m n$  ab, projicire diese Abschnitte auf  $m r$ ; alsdann erhält man in den Projectionen die gefuchten wirklichen Sparrenspannungen. Eben fo ist die Division durch  $\cos \varepsilon$  vorzunehmen.

Wenn einfache Diagonalen angeordnet werden, fo erhält jede derselben event. Zug und Druck; will man nur gezogene Diagonalen haben, fo sind Gegendiagonalen einzuführen, worüber nach Früherem (siehe Art. 390, S. 355) nichts hinzugefügt zu werden braucht.

2) Achtfeitiges Pyramidendach.

Wir nehmen hier die Windrichtung, der einfachen Rechnung halber, horizontal an und berechnen aus demselben Grunde den Winddruck fo, als wenn die Seitenflächen vertical ständen.

Der dabei gemachte Fehler ist gering. Wenn die Windrichtung im Grundriß normal zu der Seite  $m n$  (Fig. 336) angenommen wird, die Seitenlänge des regulären Achteckes an der Unterkante der Pyramide mit  $a$ , die Höhe der Pyramide mit  $h$  und der Druck pro Flächeneinheit mit  $p$  bezeichnet wird, fo ist der Druck gegen die Fläche  $F$  demnach

$$W = \frac{p a h}{2} \dots 350.$$

Der Winddruck auf die Fläche  $F_1$  ergibt sich unter obigen vereinfachenden Annahmen folgender Mafsen. Auf 1<sup>qm</sup> der normal getroffenen Fläche  $m n$  (Fig. 337) und deren Verlängerungen kommt ein Winddruck  $p$ ; einem Quadrat-Meter dieser Fläche entspricht aber  $\frac{1}{\cos \gamma}$  der (immer vertical gedachten) Fläche  $n o$ ; auf 1<sup>qm</sup> der letzteren kommt also

Fig. 337.

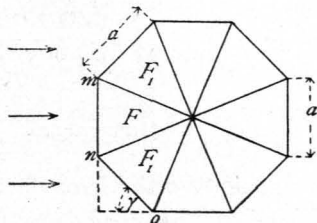
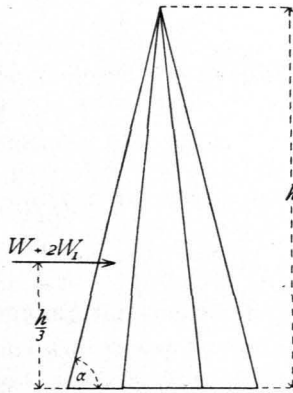


Fig. 336.

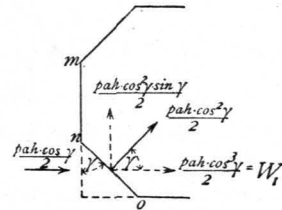
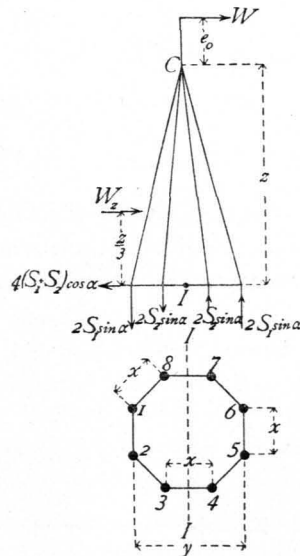


Fig. 338.



465.  
Belastung.

ein Winddruck  $\frac{p}{1} = p \cos \gamma$ , mithin auf die ganze Fläche  $F_1$  der Winddruck

$\frac{p \cos \gamma a h}{2}$ . Von diesem Winddruck kommt nur die normal zur Fläche stehende

Componente zur Geltung, d. h.  $\frac{p \cos \gamma a h}{2} \cos \gamma = \frac{p a h}{2} \cos^2 \gamma$ .

Diese Componente zerlegt sich nun in eine Seitenkraft, welche dieselbe Richtung hat, wie  $W$ , und in eine normal hierzu stehende. Die erstere ist

$$W_1 = \frac{p a h \cos^3 \gamma}{2} \dots \dots \dots 351.$$

Ein genau gleicher Winddruck wirkt (Fig. 337) auf die andere Fläche  $F_1$ ; mithin ist der gesammte Winddruck auf die Pyramide

$$W + 2 W_1 = \frac{p a h}{2} (1 + 2 \cos^3 45^\circ) = \frac{p a h}{2} \left(1 + \frac{2 \cos^3 45^\circ}{2}\right) = 0,854 p a h. \quad 352.$$

Der Angriffspunkt dieser Kraft liegt in der Höhe  $\frac{h}{3}$  über der Basis der Pyramide.

Für irgend einen Pyramidentheil (Fig. 338) der Höhe  $z$  erhält man, wenn die Seite des Achteckes, welches für diesen Theil die Basis bildet, mit  $x$  und die ganze Basisbreite mit  $y$  bezeichnet wird,

$$W_z = 0,854 p x z \dots \dots \dots 353.$$

$W_z$  greift in der Höhe  $\frac{z}{3}$  über dieser Basis an.

466.  
Spannungen  
in den  
Sparren.

Außer  $W_z$  wirke auf das Thurmkreuz (Fig. 338) noch ein Winddruck  $W$  in der Höhe  $e_0$  über dem First; alsdann ist das Moment des Windes, bezogen auf die horizontale, in der Basis des betreffenden Thurmfstückes gelegene Schwerpunktsaxe  $II$  des Querschnittes

$$M_z = W_z \frac{z}{3} + W (e_0 + z) \dots \dots \dots 354.$$

Dieses Moment muß durch die Spannung der Sparren an der betrachteten Stelle aufgehoben werden.

Sind die Spannungen in den vier Sparren 1, 2, 5, 6, welche um  $\frac{y}{2}$  von der Axe  $II$  abstehen,  $S_1$ , diejenigen in den vier um  $\frac{x}{2}$  von der Axe  $II$  abstehenden

Sparren 3, 4, 7, 8 gleich  $S_2$ , so ist, wenn mit geringem Fehler der Sparrenwinkel gegen die Horizontalebene gleich  $\alpha$  gesetzt wird, das Moment der Sparrenspannungen für die Axe  $II$  gleich  $2 S_1 y \sin \alpha + 2 S_2 x \sin \alpha$ ; folglich muß  $M_z = (2 S_1 y + 2 S_2 x) \sin \alpha$  sein. Man kann annehmen, daß bei gleicher Querschnittsfläche aller Sparren stattfindet

$$\frac{S_2}{S_1} = \frac{x}{y}, \text{ d. h. } S_2 = \frac{S_1 x}{y}, \text{ also } M_z = \left(2 S_1 y + \frac{2 S_1 x^2}{y}\right) \sin \alpha,$$

$$M_z = \frac{2 S_1}{y} (y^2 + x^2) \sin \alpha, \text{ woraus } S_1 = \frac{M_z y}{2 (x^2 + y^2) \sin \alpha} \dots \dots \dots 355.$$

Für  $M_z$  sind der Reihe nach die Werthe einzuführen, welche sich bei den verschiedenen Höhen  $z$  ergeben. Diese Spannung kann in jedem Sparren sowohl

als Zug, wie als Druck stattfinden, weil der Wind von allen Seiten kommen kann. Man erhält demnach

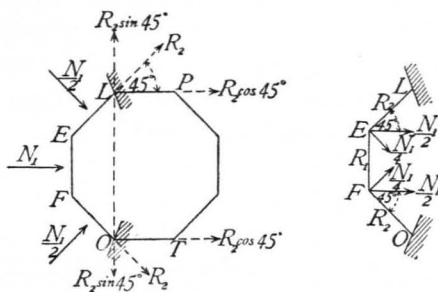
$$S = \pm \frac{M_x y}{2(x^2 + y^2) \sin \alpha} \dots \dots \dots 355a.$$

Die genaue Berechnung der bei einseitiger Windbelastung in den Ringen und in den Diagonalen entstehenden Spannungen ist sehr complicirt. Wir machen, um eine einfache Rechnung zu erhalten, die Annahme, daß wir, wenn der Wind die Flächen *EF*, *FO* und *EL* (Fig. 339) be-  
 laftet, die Punkte *L* und *O* als feste Stütz-  
 punkte betrachten können. Alsdann wirkt  
 auf *EF* die Kraft *N*<sub>1</sub>, auf *EL* und *FO* je  
*N*<sub>1</sub> cos<sup>2</sup> 45° =  $\frac{N_1}{2}$ ; in *E* und *F* wirken als-  
 dann je  $\frac{N_1}{2}$  und  $\frac{N_1}{4}$ , wie in Fig. 340 ge-  
 zeichnet. Die Gleichgewichtsbedingungen für  
 Punkt *F* lauten nun:

467.  
Spannungen  
in den  
Ringen.

Fig. 339.

Fig. 340.



$$0 = R_1 + \frac{N_1}{4} \sin 45^\circ - R_2 \sin 45^\circ \quad \text{und} \quad 0 = R_2 \cos 45^\circ + \frac{N_1}{2} + \frac{N_1}{4} \cos 45^\circ,$$

woraus

$$R_2 = - \frac{N_1 \left( \frac{1}{2} + \frac{1}{4} \cos 45^\circ \right)}{\cos 45^\circ} = - \frac{N_1}{2} \left( \frac{1}{\cos 45^\circ} + \frac{1}{2} \right) = - 0,957 N_1 \quad . \quad 356.$$

$$R_1 = R_2 \sin 45^\circ - \frac{N_1}{4} \sin 45^\circ = - \frac{N_1}{2} \left( \frac{\sin 45^\circ}{\cos 45^\circ} + \frac{\sin 45^\circ}{2} + \frac{\sin 45^\circ}{2} \right),$$

$$R_1 = - 0,854 N_1 \dots \dots \dots 357.$$

Da der Wind von allen Seiten kommen kann, so sind alle Ringtheile für die Spannung  $R_2 = - 0,957 N_1$  zu dimensioniren.

Um die in den Dachflächen angebrachten Diagonalen zu berechnen, bestimme man die auf die einzelnen Punkte *L*, bezw. *O* (Fig. 339 u. 340) wirkenden horizontalen Kräfte. Auf *L* und *O* wirkt je *R*<sub>2</sub>, und es zerlegt sich *R*<sub>2</sub> jederseits in eine Componente *R*<sub>2</sub> cos 45°, welche in die Linie *LP*, bezw. *OT* fällt, und in eine normal dazu gerichtete Componente *R*<sub>2</sub> sin 45°, welche in die Richtung *LO* fällt. Um die beiden letzteren Componenten aufzuheben, empfiehlt sich die Anbringung der Zughorizontalen *LO*, die in Fig. 339 punktirt ist; der in dieser herrschende Zug ist *R*<sub>2</sub> sin 45°. Die in die Ebene *LPC*, bezw. *OTC* fallenden Componenten sind nun durch das in diesen angeordnete Gitterwerk auf die festen Stützpunkte der Thurmbasis zu übertragen. Um die Diagonalen zu berechnen, denken wir wieder zunächst die beiden Dachflächen durch einen in der Symmetrieebene liegenden, ideellen Binder ersetzt, ermitteln die unter dem Einflusse der Lasten *R*<sub>2</sub> cos 45° in demselben entstehenden Diagonalspannungen auf bekannte Weise und finden aus diesen ideellen Diagonalspannungen die wirklichen Diagonalspannungen genau so, wie in Art. 464, S. 434 angegeben ist. Als Belastung der einzelnen Knotenpunkte des ideellen Binders ist selbstverständlich überall 2 *R*<sub>2</sub> cos 45° einzuführen.

468.  
Spannungen  
in den  
Diagonalen.

## 3) Stabilität der Thurmdächer.

Durch die Windbelastung werden die Sparren an der Windseite auf Zug, diejenigen an der Unterwindseite auf Druck beansprucht; durch das Eigengewicht erhalten alle Sparren Druck. Wenn der in dem Sparren mögliche grösste Zug in Folge des Winddruckes grösser ist, als der durch das Eigengewicht erzeugte Druck, so ist Gleichgewicht nur möglich, wenn auf den Sparren Seitens des Auflagers ein Zug ausgeübt wird, welcher wenigstens so gross ist, wie der grösste im Sparren herrschende resultirende Zug. Dieser Zug Seitens des Auflagers wird durch Verankerung der Sparren mit dem Thurmmauerwerk erzeugt, und es muss das Gewicht des an den Anker gehängten Mauerwerkes, welches als Zug auf den Sparren wirkt, wenigstens so gross sein, wie der grösstmögliche Zug in demselben. Es empfiehlt sich, die Verankerung weiter hinabzuführen, etwa so weit, dass das Mauergewicht doppelt so gross ist, als der grösste Zug im Sparren.

## Literatur.

Bücher über »Statik der Dachstuhl«.

- UNWIN, W. *Wrought-iron bridges and roofs etc.* London 1870.  
 CORDIER, E. *Equilibre stable des charpentes en fer, bois et fonte.* Paris 1872.  
 RITTER, Dr. A. *Elementare Theorie und Berechnung eiserner Dach- und Brücken-Constructionen.* 3. Aufl. Hannover 1873.  
 FABRÉ, V. *Théorie des charpentes, donnant des règles pratiques pour la construction des fermes et autres appareils en bois et en fonte.* Paris 1873.  
 CARGILL, Th. *The strains upon bridge girders and roof trusses etc.* London 1873.  
 SHREVE, S. *A treatise on the strength of bridges and roofs etc.* New-York 1873.  
 TETMAJER, L. *Die äusseren und inneren Kräfte an statisch bestimmten Brücken- und Dachstuhl-Constructionen.* Zürich 1875.  
 NICOUR, Ch. *Calcul d'un comble en fer du système Polonceau.* Paris 1875.  
 SCHWEDLER, W. *Die Construction der Kuppeldächer.* 2. Aufl. Berlin 1878.  
 TRÉLAT, E. *La rigidité dans les combles.* Paris 1878.  
 Deutsche bautechnische Taschenbibliothek. Heft 10: *Berechnung der Dachwerke.* Von W. Jeep. Leipzig 1876.

## 4. Abschnitt.

## Gewölbe.

469.  
Allgemeines.

Die Gewölbe sind aus einzelnen, mehr oder weniger keilförmig gestalteten Elementen zusammengesetzte Bauconstructionen, welche bei verticalen Belastungen schiefe Drücke auf die sie stützenden Constructionstheile ausüben. Indem wir die verschiedenen Gewölbearten hier als bekannt voraussetzen, bemerken wir, dass wir uns im vorliegenden Abschnitt hauptsächlich mit den Tonnen-, bezw. Kappengewölben, den Kreuzgewölben und den Kuppelgewölben beschäftigen werden, auf welche alle anderen Gewölbearten leicht zurückgeführt werden können.

Der allgemeinen theoretischen Untersuchung soll das Tonnen-, bezw. Kappengewölbe zu Grunde gelegt werden; dabei werden wir stets, falls nichts Anderes